

TRAJNOST KONSTRUKCIJA II

**OCJENJIVANJE POSTOJEĆIH KONSTRUKCIJA
NA POTRESNO DJELOVANJE**

OCJENJIVANJE POSTOJEĆIH KONSTRUKCIJA NA POTRESNO DJELOVANJE

NELINEARNI DINAMIČKI PRORAČUN

Najtočnija metoda za dobivanje odziva konstrukcije na seizmičko djelovanje

NEDOSTACI:

- zahtijeva podloge u obliku pomaka tla na točno određenoj lokaciji usklađene sa seizmičkim spektrom
- složene računalne programe
- specijalistička znanja

NELINEARNI STATIČKI PRORAČUN

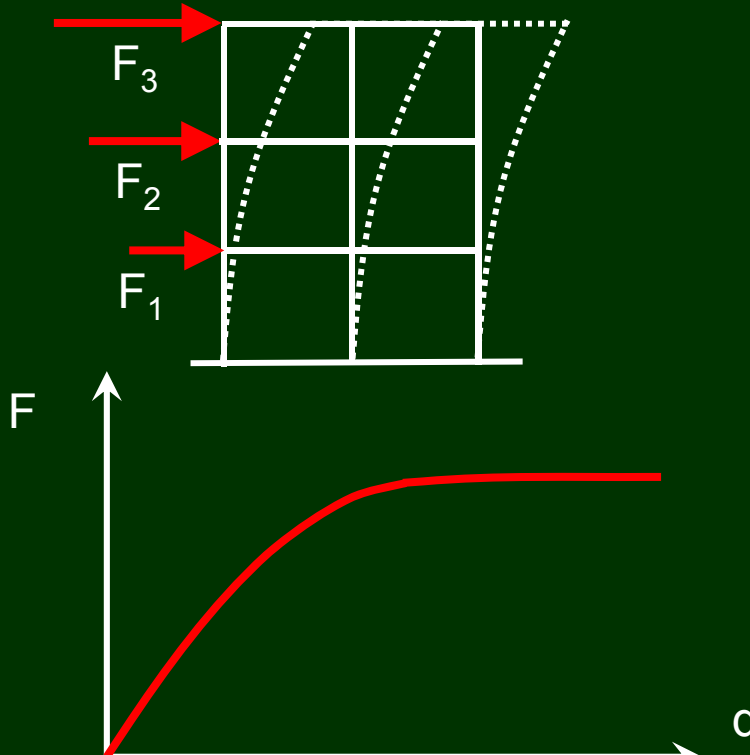
Pojednostavnjene metode, nedostatak učinaka ovisnih o vremenu - određene pogreške

VAŽNE INFORMACIJE O ODZIVU KONSTRUKCIJE:

- otkrivanje kritičnih područja u kojima su moguće velike neelastične deformacije
- određivanje nepravilnosti u raspodjeli krutosti tlocrtno ili po visini
- procjena potrebne sile u potencijalno krhkim elementima
- predviđanje slijeda popuštanja i/ili sloma konstrukcijskog elementa

METODA POSTUPNOG GURANJA (PUSHOVER METHOD)

- Suvremena verzija klasičnog proračuna do sloma
- iterativni postupak rješavanja statičkih jednadžbi ravnoteže (obnavljanje matrice krutosti u svakom koraku)
- konstantno vertikalno stalno opterećenje + monotono rastuće bočno opterećenje



na lokacijama masa u konstrukcijskom modelu kako bi simuliralo inercijske sile izazvane jednom horizontalnom komponentom seizmičkog djelovanja

može opisati razvoj očekivanog plastičnog mehanizma i konstrukcijskog oštećenja, kao funkcija $F - d$

METODA POSTUPNOG GURANJA (PUSHOVER METHOD)

POPREČNA SILA

$$F_i = \alpha \cdot m_i \cdot \Phi_i$$

Dva oblika poprečnog djelovanja

Poprečne sile F_i
primijenjene na mase m_i
u odabranom smjeru proračuna
uzimaju se da ostaju proporcionalne
određenom obliku horizontalnih pomaka Φ_i

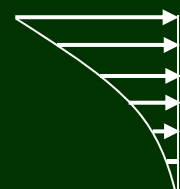
Najnepovoljniji rezultat mjerodavan

- JEDNOLIKI OBLIK, temeljen na poprečnim silama koje su proporcionalne s masom bez obzira na visinu, koji odgovara jednolikim poprečnim akceleracijama u jednom smjeru, za $\Phi_i=1$



- MODALNI OBLIK, s poprečnim silama u skladu s njihovom razdiobom u promatranom smjeru

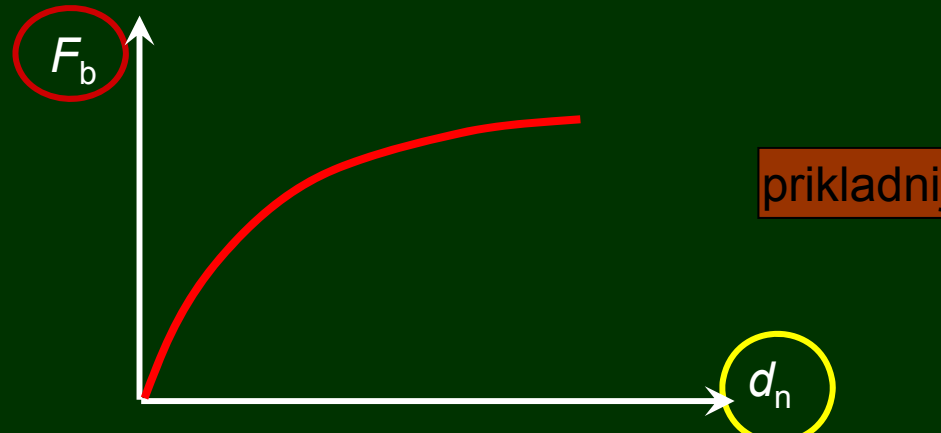
- ▶ ako zgrada zadovoljava uvjete za primjenu razdiobe poprečne sile u obliku obrnutog trokuta s jednosmjernim silama, slično silama koje se rabe u toj metodi $\Phi_i=z_i$



1.

METODA POSTUPNOG GURANJA (PUSHOVER METHOD)

KRIVULJA KAPACITETA NOSIVOSTI



Ukupna poprečna sila u podnožju

Pomak u kontrolnom čvoru (krov)

ELASTOPLASTIČNA IDEALIZACIJA

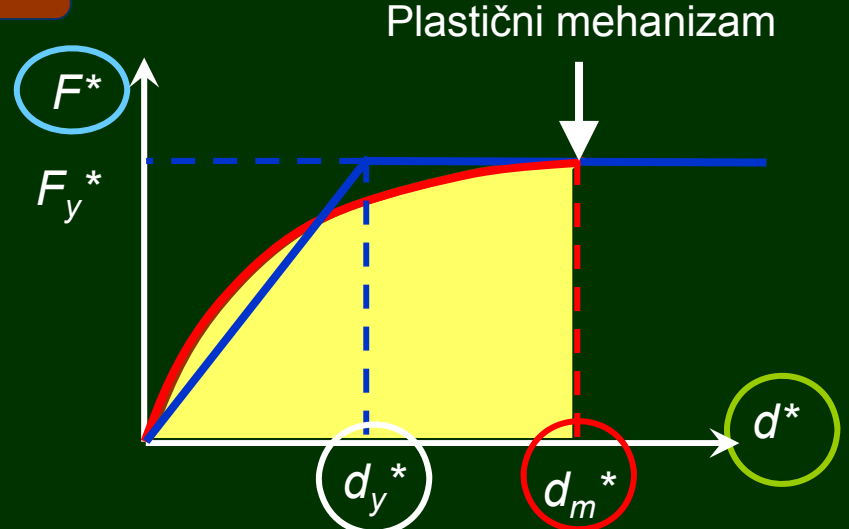
Pomak popuštanja elasto-plastičnog ekviv.sustava

$$d_y^* = 2 \left(d_m^* - \frac{E_m^*}{F_y^*} \right)$$

Pomak ekviv.sustava pri formiranju plastič.mehanizma

Deformacijska energija ispod stvarne krivulje kapaciteta nosivosti

prikladnije



Poprečna sila SDOF

$$F^* = \frac{F_b}{\Gamma}$$

Pomak SDOF

$$d^* = \frac{d_n}{\Gamma}$$

Transformacijski faktor

$$\Gamma = \frac{m^*}{\sum m_i \Phi_i^2}$$

Masa SDOF

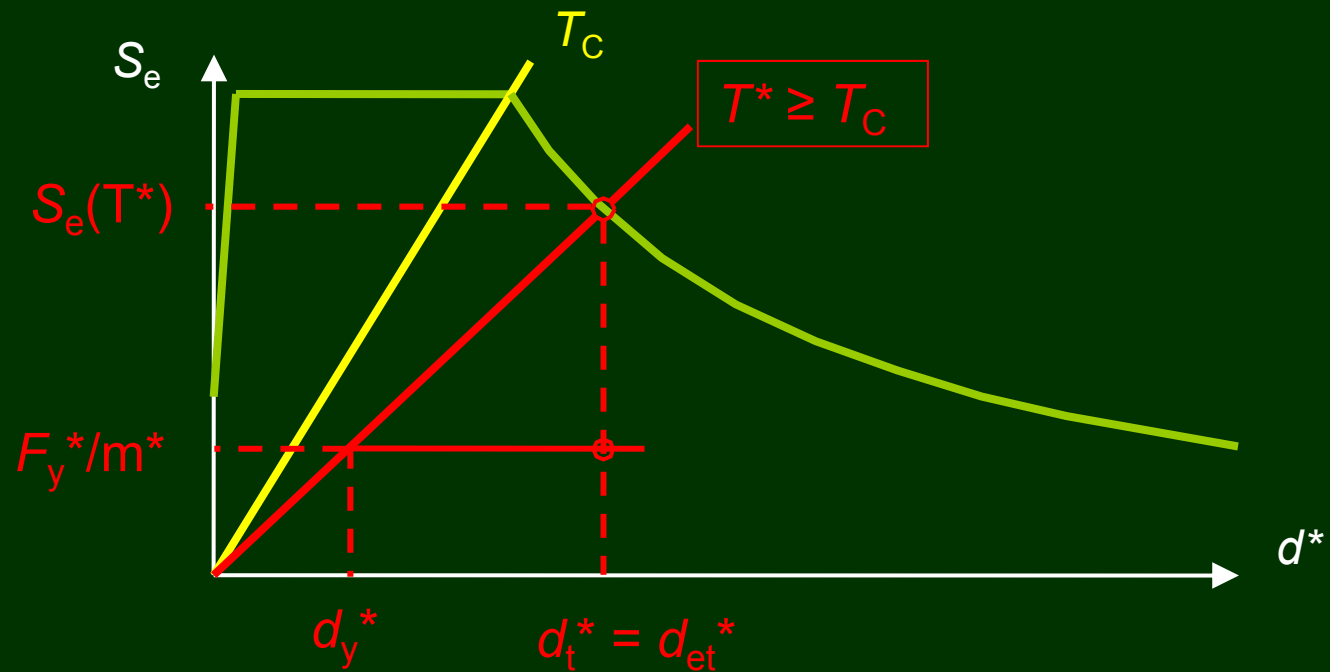
$$m^* = \sum m_i \Phi_i$$

Period SDOF

$$T^* = 2\pi \sqrt{\frac{m^* d_y^*}{F_y^*}} = 2\pi \sqrt{\frac{m^* d_{ny}}{F_{by}}}$$

METODA POSTUPNOG GURANJA (PUSHOVER METHOD)

CILJANI POMAK

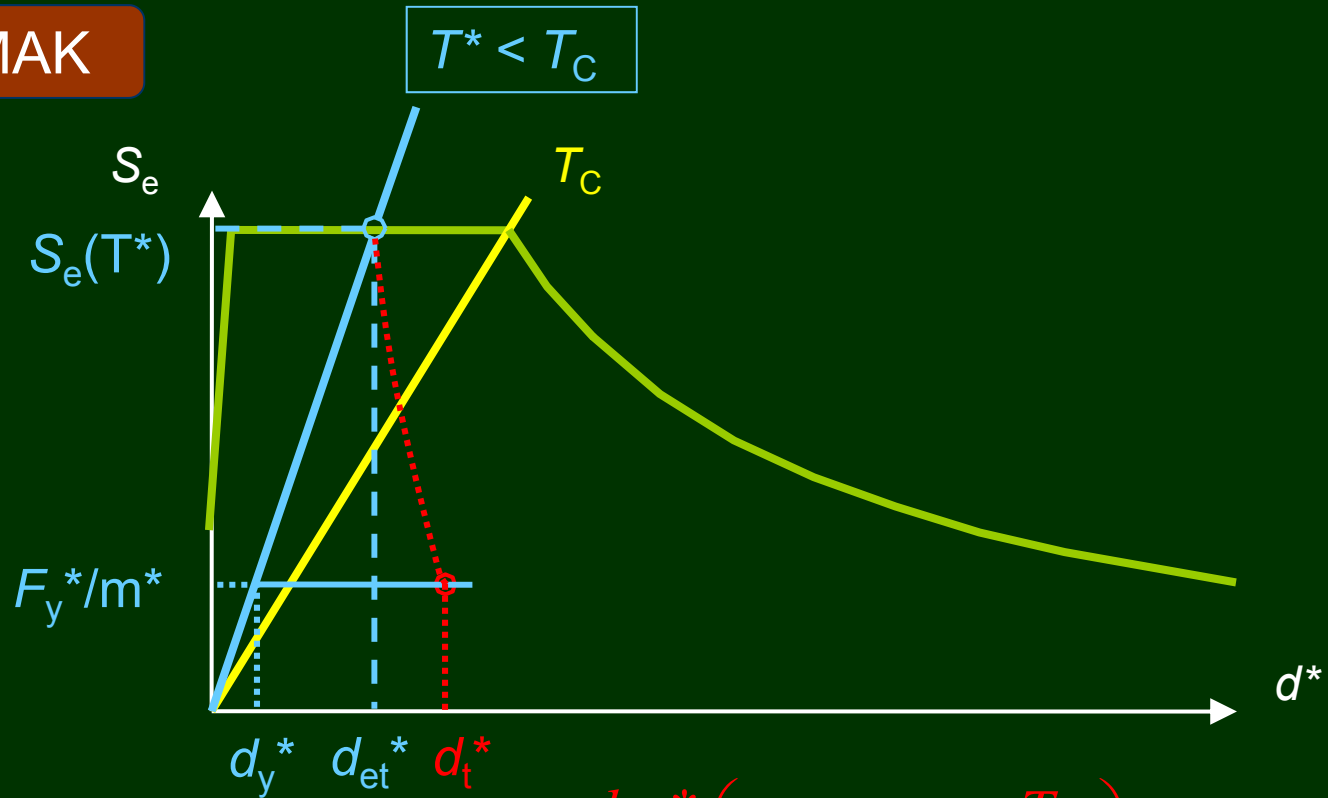


Srednji ili dugi
period titranja

$$d_{et}^* = S_e(T^*) \left(\frac{T^*}{2\pi} \right)^2$$

METODA POSTUPNOG GURANJA (PUSHOVER METHOD)

CILJANI POMAK



Kratki period
titranja

$$d_t^* = \frac{d_{et}^*}{q_u} \left(1 + (q_u - 1) \frac{T_C}{T^*} \right) \geq d_{et}^*$$

omjer ubrzanja u konstrukciji
s neograničenim elastičnim ponašanjem i
u konstrukciji s ograničenom čvrstoćom

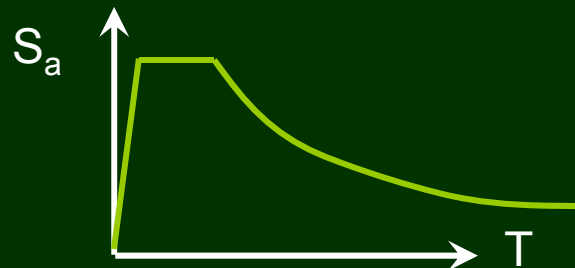
$$q_u = \frac{S_e(T^*)}{F_y^*/m^*}$$

2.

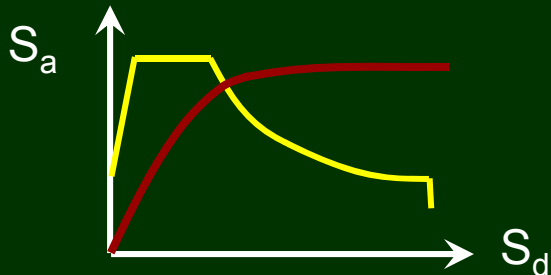
METODA SPEKTRA KAPACITETA NOSIVOSTI

Potresno djelovanje predstavljeno spektrima ubrzanja $S_a - T$

Spektri odziva spektralno ubrzanje - spektralni pomak



$$S_{di} = \frac{T_i^2}{4\pi^2} \cdot S_{ai}$$

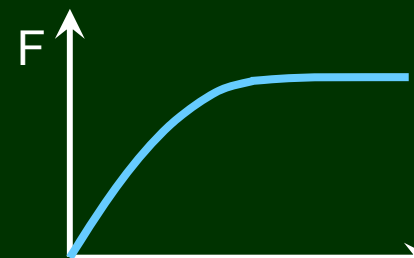
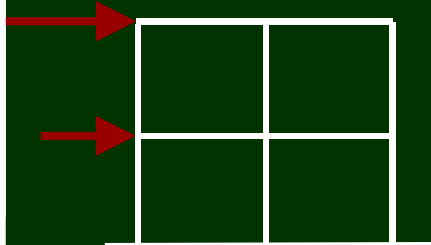


Usporedba ZAHTJEVA POTRESA i KAPACITETA KONSTRUKCIJE

Postupno guranje

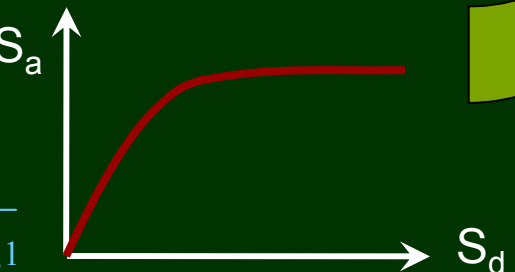
Krivulja kapaciteta nosivosti

Format spektralno ubrzanje - spektralni pomak



$$S_a = \frac{F/W}{\alpha_1}$$

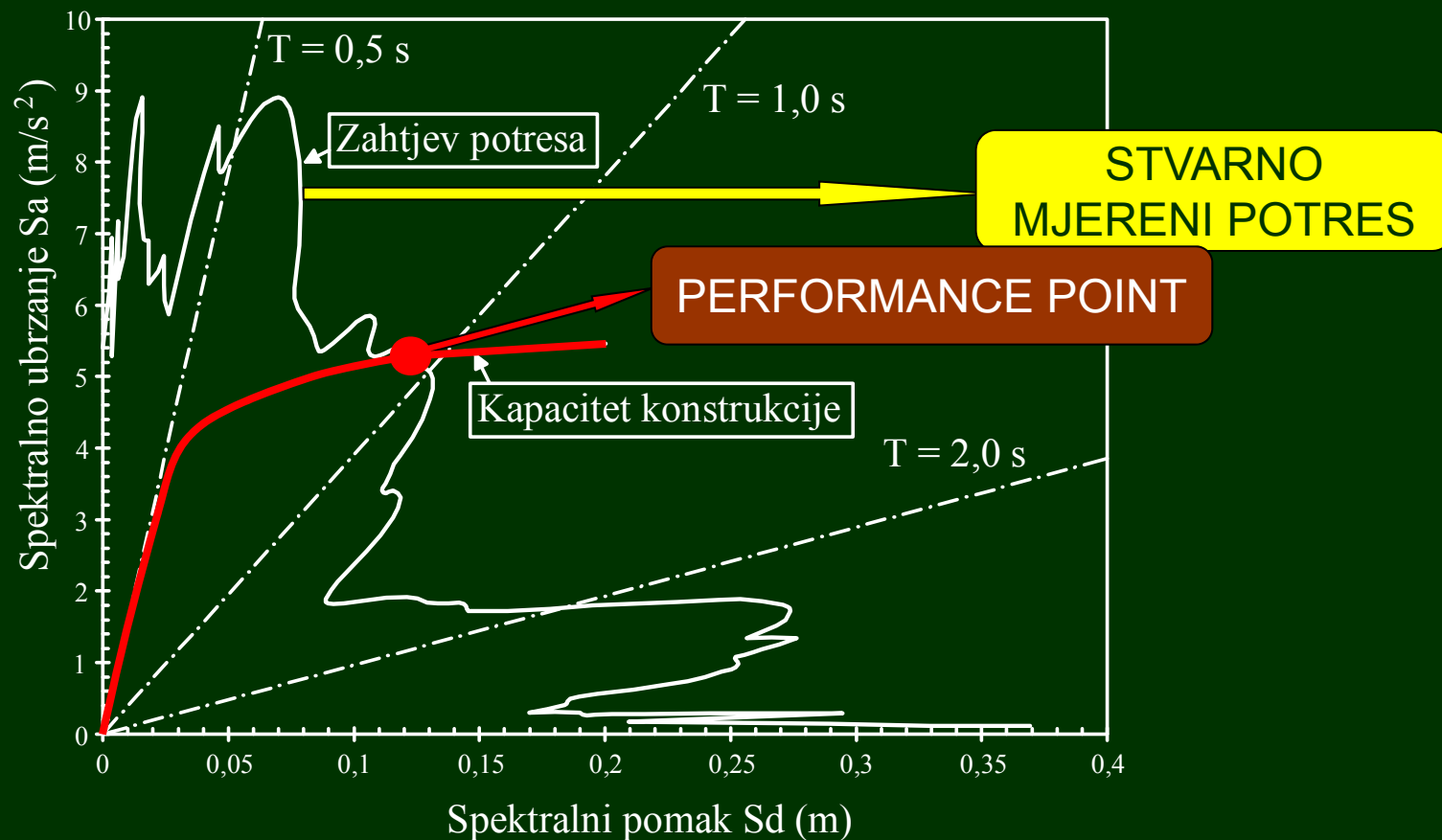
$$S_d = \frac{\delta_{krov}}{PF_1 \cdot \phi_{krov,1}}$$



TK II

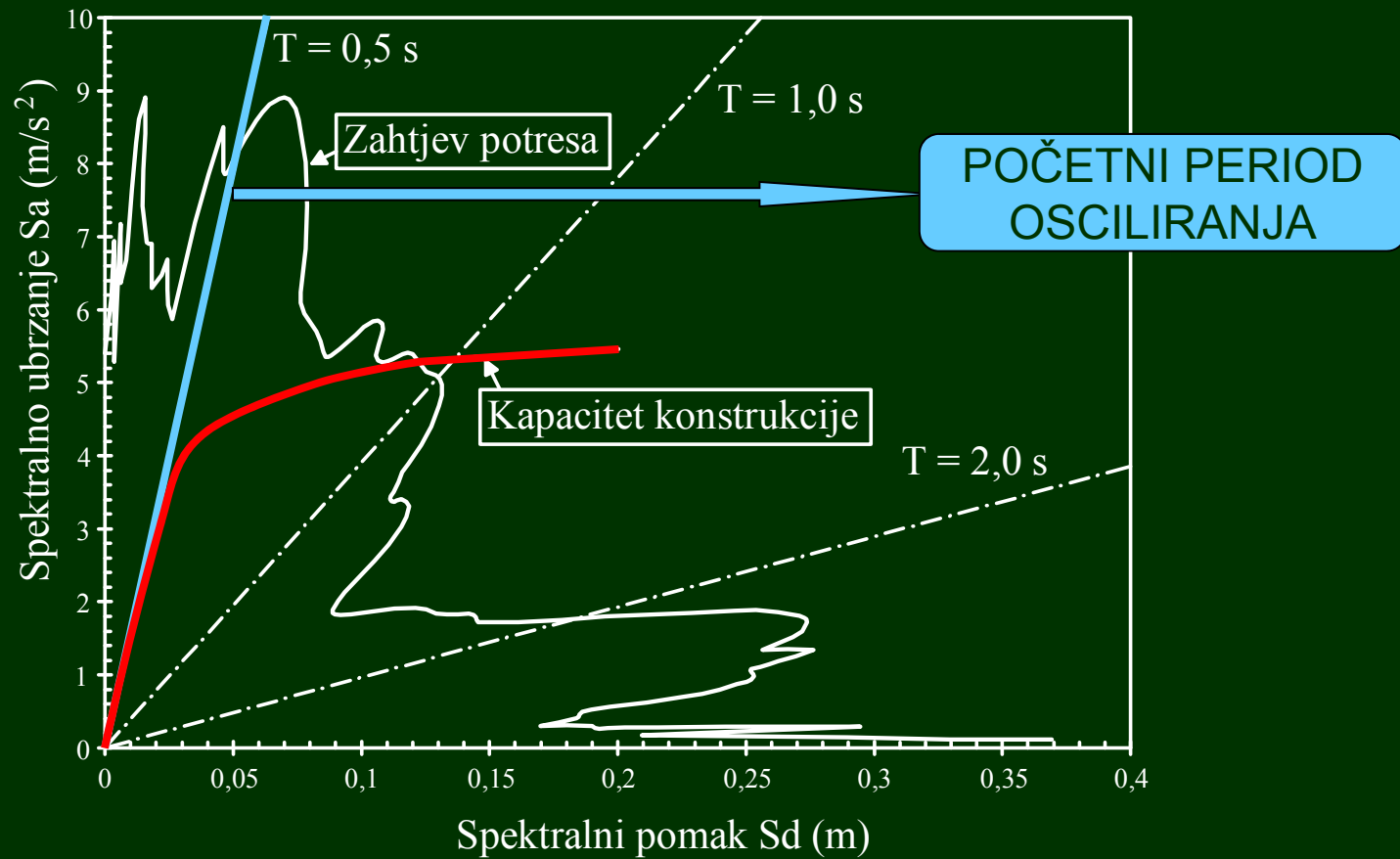
OCJENJIVANJE POSTOJEĆIH KONSTRUKCIJA NA POTRESNO DJELOVANJE

METODA SPEKTRA KAPACITETA NOSIVOSTI



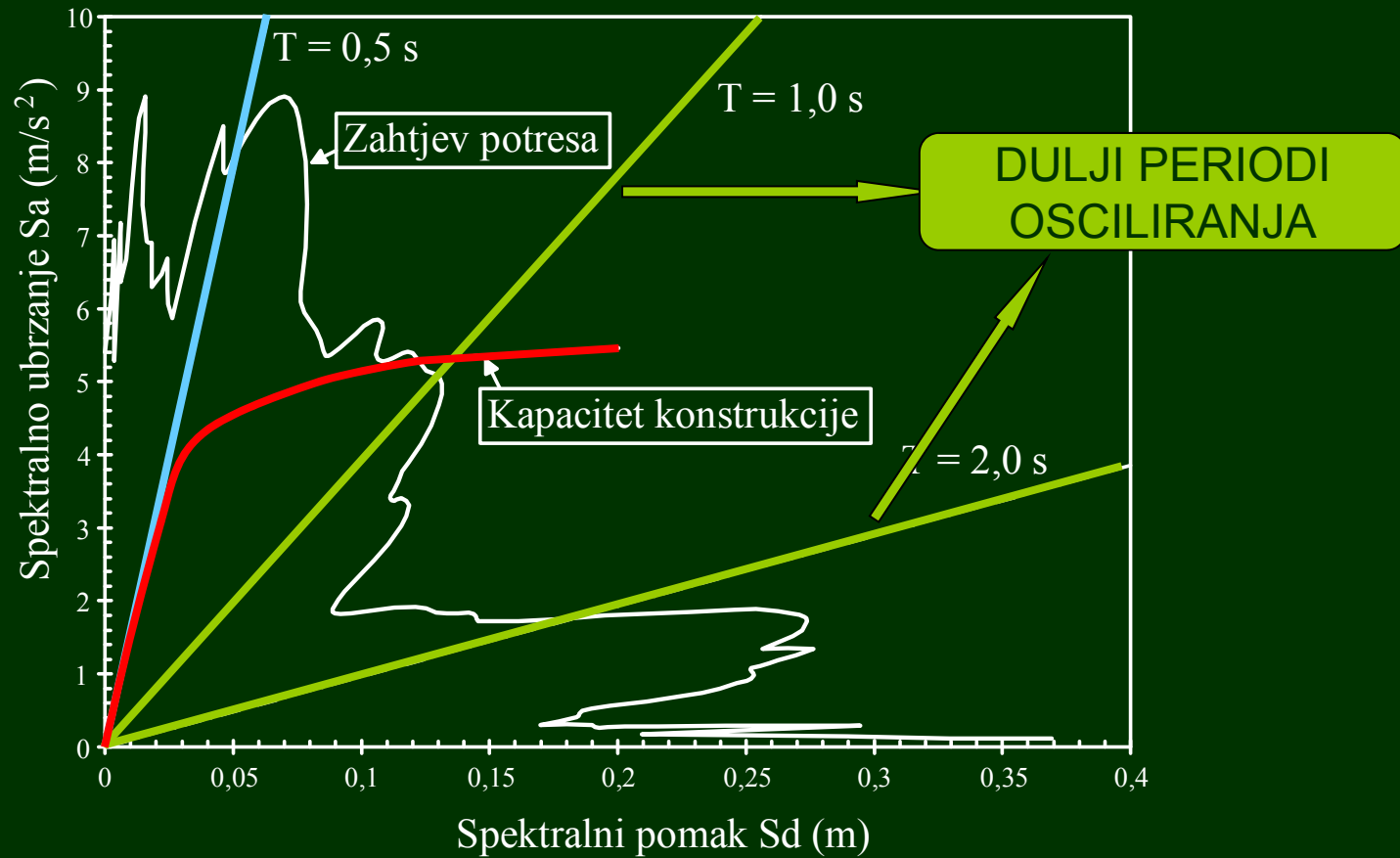
- Ako k.k. prodire kroz z.p. promatrana građevina će izdržati predviđeni potres uz manja ili veća oštećenja, ovisno o veličini nelinearnih deformiranja.
- Pomaci mogu dobro karakterizirati ponašanje konstrukcije za djelovanje pretpostavljenog potresa – važni za procjenu postojećih zgrada.

METODA SPEKTRA KAPACITETA NOSIVOSTI



- Radijalni pravac perioda T , poklapa se s k.k u području linearno-elastič. ponašanja konstrukcije – odgovara punoj elastičnoj krutosti konstrukcije.

METODA SPEKTRA KAPACITETA NOSIVOSTI



- Radijalni pravac manjeg nagiba, konstrukcija trpi nelinearna deformiranja, mjestimična plastifikacija → krutost konstrukcije opada → T se produljuje.

METODA SPEKTRA KAPACITETA NOSIVOSTI

- Za procjenu postojećih građevina, koje velikim dijelom ne zadovoljavaju najnovije seizmičke propise.
 - Na relativno jednostavan način pokazuje kakvi su zahvati na nosivoj konstrukciji potrebni da bi se mogao očekivati njezin povoljan odziv na potres.
 - Osnovne mjere koje se poduzimaju su poboljšanje
 - ▶ NOSIVOSTI
 - ▶ KRUTOSTI
 - ▶ DUKTILNOSTI
 - ▶ UGRAĐIVANJE IZOLATORA ZA DISIPACIJU SEIZMIČKE ENERGIJE
-
- POVEZANA SVOJSTVA – voditi računa da prekomjerno poboljšanje jednog (npr.krutosti) ne ugrozi drugo (umanjenje duktilnosti)

RAZVOJ METODA POSTUPNOG GURANJA ZA OCJENIVANJE POSTOJEĆIH KONSTRUKCIJA

Ograničenje UOBIČAJENE
PUSHOVER METODE



odziv konstrukcije kontroliran je samo
osnovnim oblikom titranja

VIŠEMODALNE PUSHOVER METODE



Provođenje više odvojenih proračuna postupnim guranjem, od kojih svaki odgovara pojedinom obliku titranja, a onda se odziv konstrukcije dobiva kombiniranjem učinaka djelovanja dobivenih od pojedinih oblika titranja.

- ▶ Modal Pushover Analysis, MPA
- ▶ Energy-based Pushover formulation
- ▶ Incremental Response Spectrum Analysis, IRSA

PREDNOSTI

- jednostavnije od dinamičkih metoda
- uobičajeni računalni programi

NEDOSTACI

- složenije od jednostrukih statickih proračuna
- poteškoće u sklopu metode spektra kapaciteta zbog potrebe za krivulj.kapac. povezanim uz oblike opterećenja viših oblika vibriranja

RAZVOJ METODA POSTUPNOG GURANJA ZA OCJENIVANJE POSTOJEĆIH KONSTRUKCIJA



RAZVOJ METODA POSTUPNOG GURANJA ZA OCJENIVANJE POSTOJEĆIH KONSTRUKCIJA



Force-based Adaptive Pushover (FAP)

- kombiniranje modalnih odziva (SRSS, CQC) The Square Root of the Sum of the Squares, Complete Quadratic Comb.

► OGRANIČENJE: mogućnost promjene predznaka unaprijed isključena, a može biti potrebna kako bi predstavila nejednoliku preraspodjelu sila nakon što je neelastični mehanizam aktiviran na nekom mjestu.

- direktno vektorsko zbrajanje modalnih oblika (DVA)

$$F_i = \sum_{j=1}^n \alpha_j \Gamma_j \phi_{j,i} M_j S_{aj}$$

broj katova broj oblika titranja

faktor sudjelovanja j -tog oblika titranja

vrijednost s obzirom na masu normaliziranog oblika za i -ti kat i j -ti oblik

masa i -tog kata

ordinata spektra ubrzanja za period titranja j - tog oblika

faktor opterećivanja kojim se uzima u obzir promjenljiva relativna važnost koju svaki pojedini oblik titranja j ima na maksimalni odziv

► OGRANIČENJE: ne postoji točna metoda za određivanje faktora α_j .

RAZVOJ METODA POSTUPNOG GURANJA ZA OCJENIVANJE POSTOJEĆIH KONSTRUKCIJA

Displacement-based Adaptive Pushover (DAP)

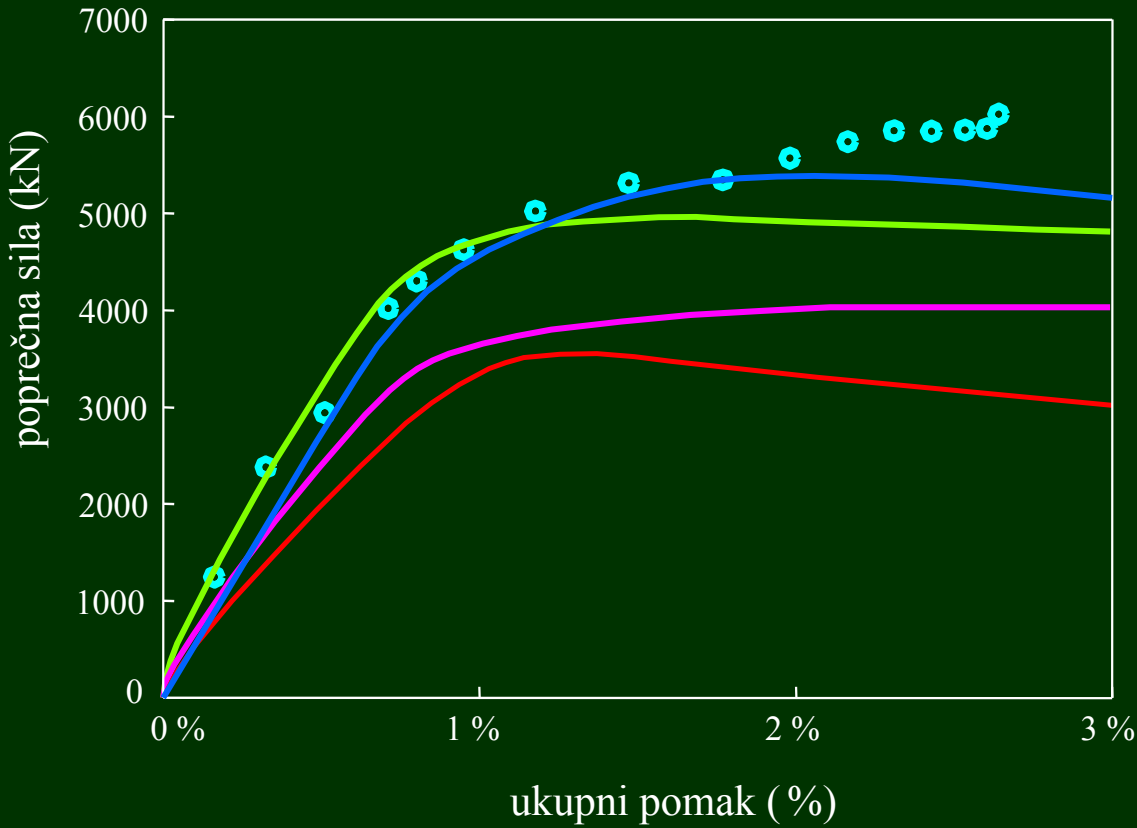
1. definiranje nominalnog vektora opterećenja U_0
2. proračun faktora opterećenja λ
3. proračun normaliziranog skalarnog vektora \bar{D}
4. prilagođavanje opterećavajućeg vektora pomaka

Ponavljanje na svakoj razini ravnoteže

$$U_t = U_{t-1} + \Delta U_t = \text{uravnoteženi pomaci} + \boxed{\begin{array}{c} \text{novo povećanje} \\ \text{pomaka} \end{array}} = \text{novi pomaci primjenjeni u koraku } t$$

$$\Delta U_t = \Delta \lambda_t \times \boxed{\begin{array}{c} \text{normalizirani oblik u koraku } t \\ \times \end{array}} = \boxed{\begin{array}{c} \text{novo povećanje} \\ \text{pomaka} \end{array}} \rightarrow U_t = U_{t-1} + \Delta \lambda_t \cdot \bar{D}_t \cdot U_0$$

RAZVOJ METODA POSTUPNOG GURANJA ZA OCJENIVANJE POSTOJEĆIH KONSTRUKCIJA



KRIVULJA KAPACITETA NOSIVOSTI

Dinamički proračun (DYNA)

Uobičajena pushover metoda s trokutastom raspodjelom opterećenja (SP-1)

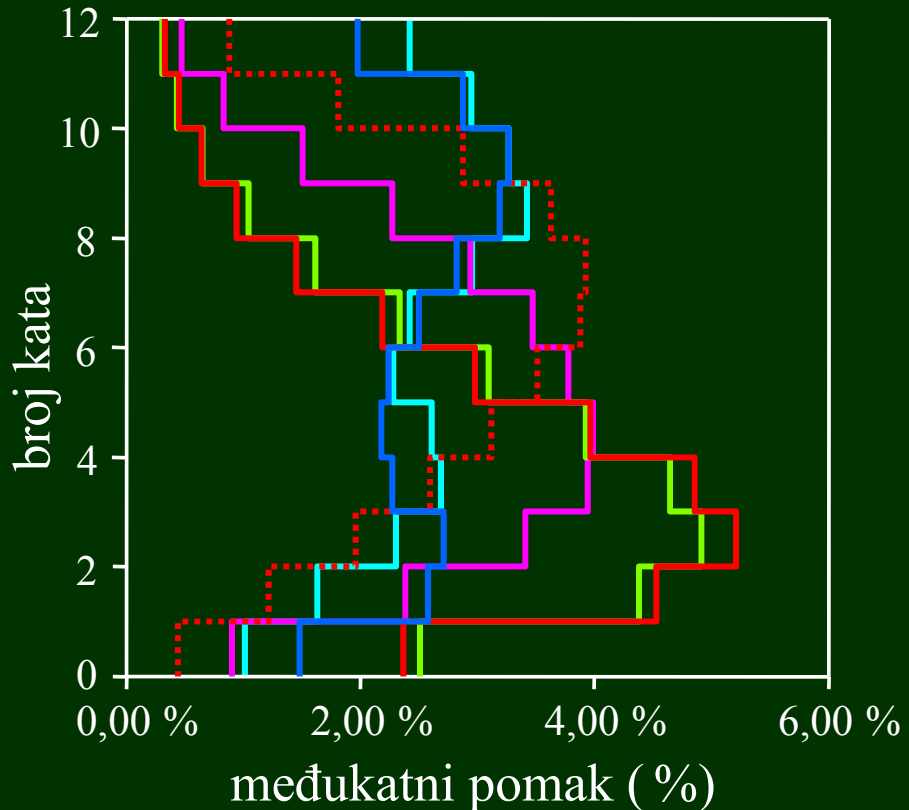
Uobičajena pushover metoda s jednolikom raspodjelom opterećenja (SP-2)

Prilagođavajuća pushover metoda utemeljena na sili:

- uz kombiniranje oblika vibriranja primjenom pravila korjenovanja sume kvadrata (FAP-SRSS)
- uz kombiniranje oblika vibriranja primjenom direktnog vektorskog zbrajanja (FAP-DVA)

Prilagođavajuća pushover metoda utemeljena na pomaku uz kombiniranje oblika vibriranja pravilom korjenovanja sume kvadrata (DAP-SRSS)

RAZVOJ METODA POSTUPNOG GURANJA ZA OCJENIVANJE POSTOJEĆIH KONSTRUKCIJA



PROFIL MEĐUKATNIH POMAKA ZA
ZGRADU S 12 KATOVA

Dinamički proračun (DYNA)

Uobičajena pushover metoda s trokutastom raspodjelom opterećenja (SP-1)

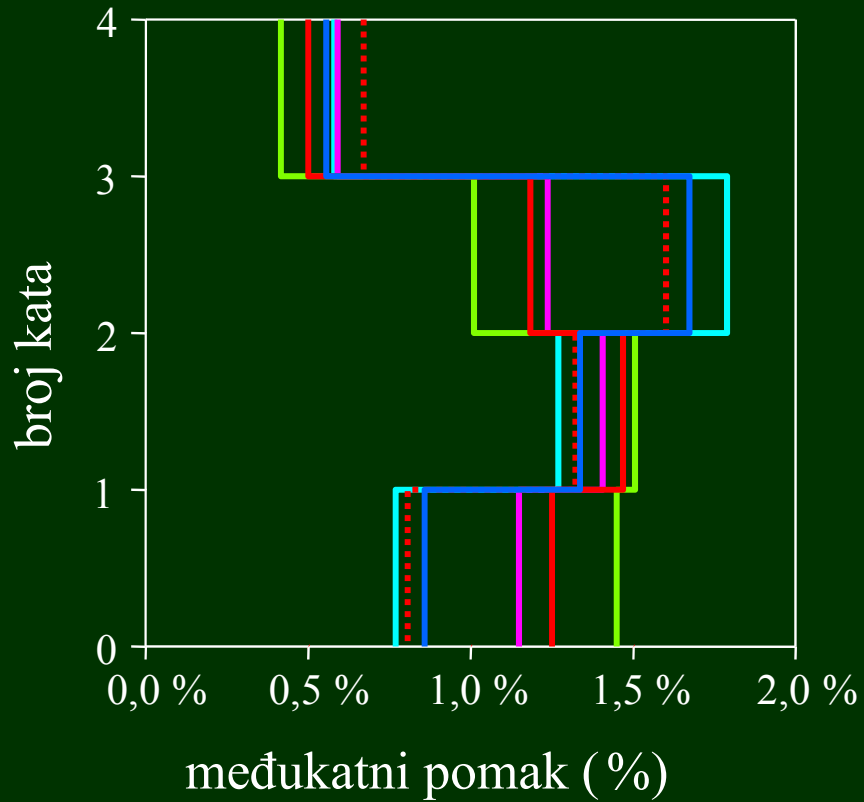
Uobičajena pushover metoda s jednolikom raspodjelom opterećenja (SP-2)

Prilagođavajuća pushover metoda utemeljena na sili:

- uz kombiniranje oblika vibriranja primjenom pravila korjenovanja sume kvadrata (FAP-SRSS)
- uz kombiniranje oblika vibriranja primjenom direktnog vektorskog zbrajanja (FAP-DVA)

Prilagođavajuća pushover metoda utemeljena na pomaku uz kombiniranje oblika vibriranja pravilom korjenovanja sume kvadrata (DAP-SRSS)

RAZVOJ METODA POSTUPNOG GURANJA ZA OCJENIVANJE POSTOJEĆIH KONSTRUKCIJA



Dinamički proračun (DYNA)

Uobičajena pushover metoda s trokutastom raspodjelom opterećenja (SP-1)

Uobičajena pushover metoda s jednolikom raspodjelom opterećenja (SP-2)

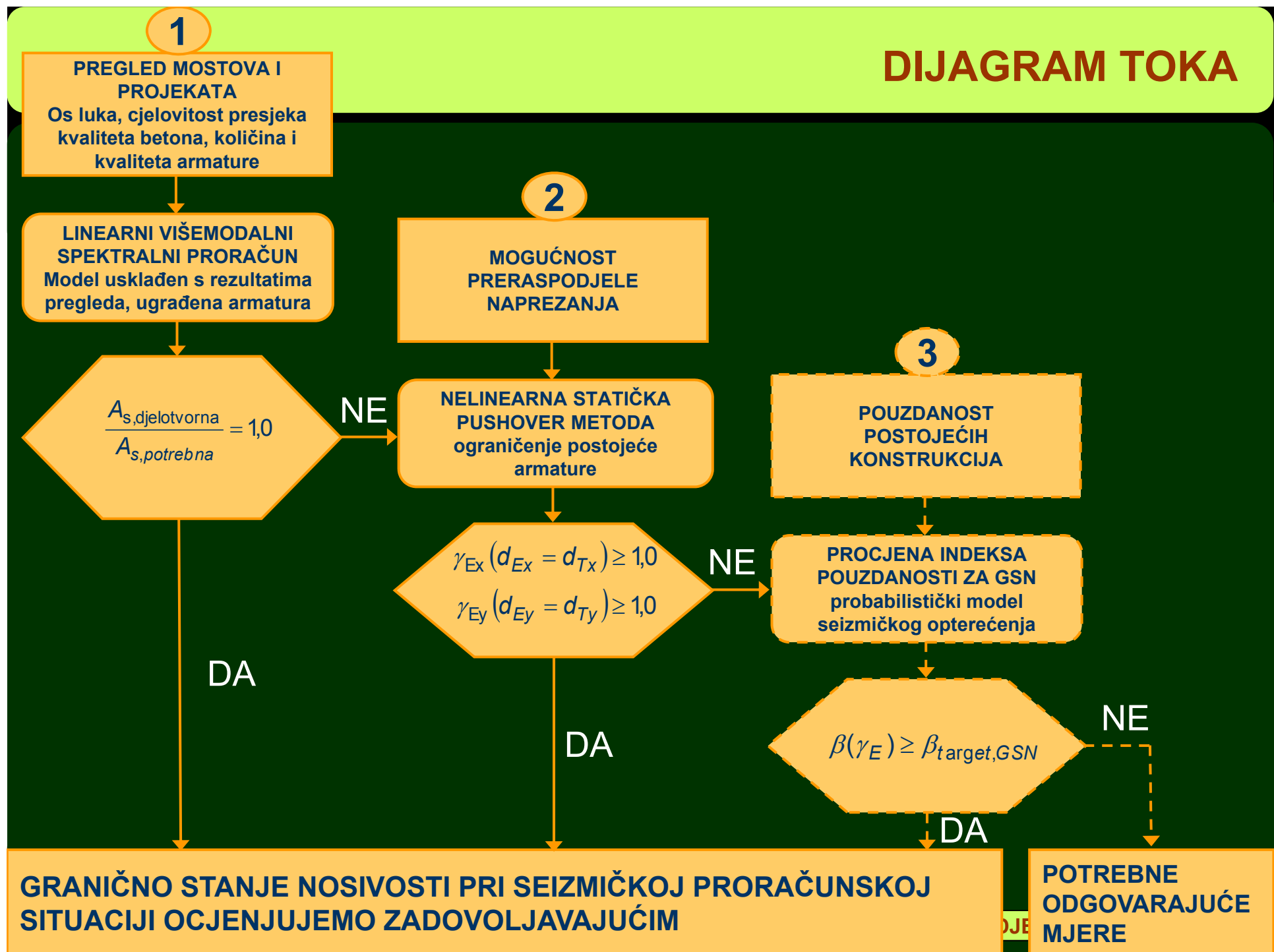
Prilagođavajuća pushover metoda utemeljena na sili:

- uz kombiniranje oblika vibriranja primjenom pravila korjenovanja sume kvadrata (FAP-SRSS)
- uz kombiniranje oblika vibriranja primjenom direktnog vektorskog zbrajanja (FAP-DVA)

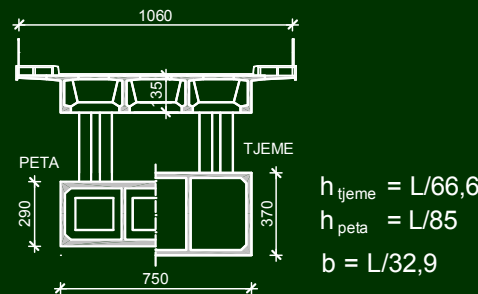
Prilagođavajuća pushover metoda utemeljena na pomaku uz kombiniranje oblika vibriranja pravilom korjenovanja sume kvadrata (DAP-SRSS)

PRIMJER: OCJENJIVANJE LUČNIH MOSTOVA NA SEIZMIČKO DJELOVANJE

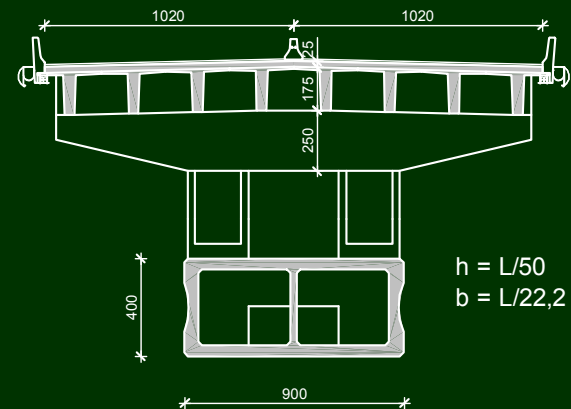
DIJAGRAM TOKA



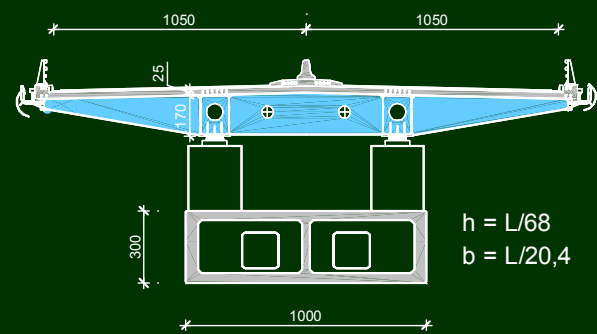
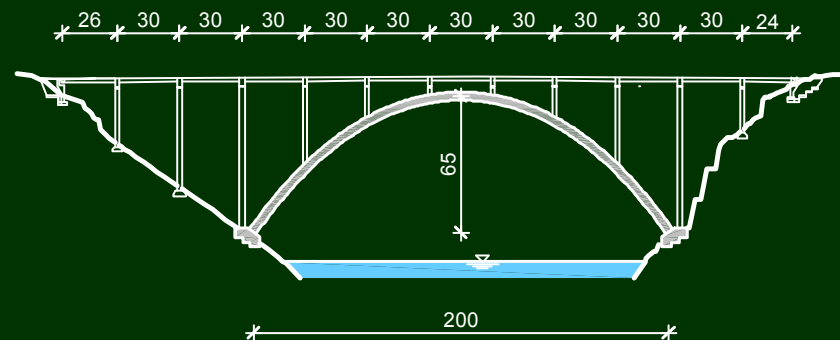
PROMATRANI MOSTOVI



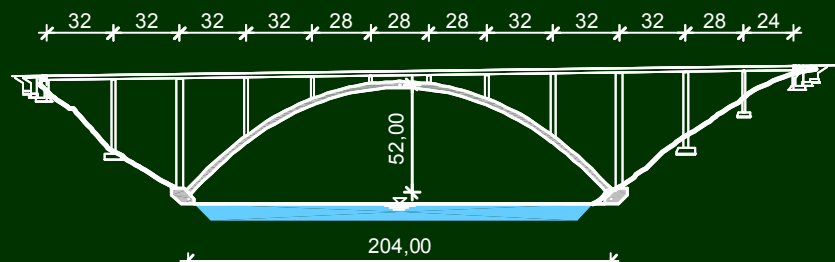
ŠIBENSKI MOST, 1966.



MASLENIČKI MOST, 1997.



SKRADINSKI MOST, 2005.



OCJENA LUKOVA NA SEIZMIČKO OPTEREĆENJE

KORACI OCJENE	ŠIBENSKI MOST	MASLENIČKI MOST	SKRADINSKI MOST
1. KORAK OCJENE			
Provjera ugrađene armature linearnim višemodalnim spektralnim proračunom	ne zadovoljava	zadovoljava	zadovoljava

OCJENA LUKOVA NA SEIZMIČKO OPTEREĆENJE

KORACI OCJENE	ŠIBENSKI MOST	MASLENIČKI MOST	SKRADINSKI MOST
1. KORAK OCJENE			
Provjera ugrađene armature linearnim višemodalnim spektralnim proračunom	ne zadovoljava	zadovoljava	zadovoljava
2. KORAK OCJENE	neophodan	nepotreban	nepotreban
Parcijalni koeficijent na potresno djelovanje γ_E	1,0 zadovoljava	1,25 zadovoljava	1,55 zadovoljava

DETALJNIJI PRORAČUN ŠIBENSKOG MOSTA POTRESNO OPTEREĆENJE

3.3.1. Potresno opterećenje u poprečnom smjeru mosta

Zbroj efektivnih modalnih masa, za razmatrane tonove osciliranja treba iznositi najmanje 90% ukupne mase konstrukcije. Stoga je za poprečni smjer mosta korišteno 80 tonova, da bi aktivna masa iznosila 90,5% ukupne mase.

Modal load contributions per function								
funct.	mode	R ^W -factor [o/o]	V*R ^W -factor	mode	R ^W -factor [o/o]	V*R ^W -factor		
791	1	-7.830E+01	55.0	-9.905E-01	41	1.147E-05	0.0	-7.474E-15
2	-2.030E-10	0.0	-2.578E-23	42	1.200E-05	0.0	-7.984E-15	
3	-1.242E+01	1.4	-1.016E+00	43	-4.351E-01	0.0	-7.650E-04	
4	2.355E+01	5.0	-1.021E+00	44	9.708E-07	0.0	-1.705E-14	
5	1.258E-08	0.0	-4.705E-19	45	-4.057E-07	0.0	-2.525E-14	
6	2.066E+01	3.8	-1.040E+00	46	4.463E-05	0.0	-1.040E+00	
7	2.453E+01	5.4	-1.031E+00	47	2.812E-03	0.0	-3.619E-06	
8	4.539E+00	0.2	-1.046E+00	48	-1.112E-05	0.0	-9.305E-13	
9	-4.978E+00	0.2	-1.075E+00	49	-2.159E+00	0.0	-1.120E-02	
10	-1.933E-09	0.0	-1.442E-18	50	-1.605E+01	2.3	-9.979E-01	
11	-6.291E+00	0.4	-1.089E+00	51	-1.277E-02	0.0	-1.420E-05	
12	1.005E-09	0.0	-4.654E-18	52	-1.785E+01	2.9	-1.072E+00	
13	2.282E+00	0.0	-1.073E+00	53	1.361E-04	0.0	-5.049E-11	
14	-7.576E-09	0.0	-4.133E-16	54	5.359E+00	0.3	-1.076E+00	
15	-2.349E+01	5.0	-9.883E-01	55	4.559E-01	0.0	-4.613E-04	
16	4.760E-07	0.0	-3.418E-16	56	-6.634E-05	0.0	-1.163E-12	
17	-6.308E-03	0.0	-1.615E-07	57	-2.314E+00	0.0	-1.175E+00	
18	-8.898E-08	0.0	-6.938E-17	58	-2.021E-05	0.0	-4.742E-11	
19	1.429E+00	0.0	-5.076E-09	59	1.172E-05	0.0	-1.844E-10	
20	2.459E-07	0.0	-1.224E-16	60	-1.295E+00	0.0	-1.050E+00	
21	4.971E-08	0.0	-6.315E-16	61	-4.724E-06	0.0	-3.679E-11	
22	-4.928E-01	0.0	-1.256E-03	62	2.305E-05	0.0	-3.215E-11	
23	-3.287E-07	0.0	-1.842E-14	63	4.895E+00	0.2	-1.077E+00	
24	-6.239E-01	0.0	-1.033E+00	64	-4.690E-02	0.0	-6.798E-05	
25	-7.859E-03	0.0	-1.194E-05	65	6.481E+00	0.4	-1.120E+00	
26	2.040E-05	0.0	-1.719E-14	66	1.029E-04	0.0	-1.080E+00	
27	-3.138E-05	0.0	-3.271E-14	67	1.043E-05	0.0	-1.128E+00	
28	-1.605E-02	0.0	-3.199E-06	68	-1.644E-05	0.0	-9.447E-10	
29	-8.032E-07	0.0	-3.994E-14	69	1.596E-05	0.0	-2.446E-11	
30	-7.352E-07	0.0	-6.456E-14	70	-1.569E-03	0.0	-4.754E-06	
31	-1.341E-05	0.0	-2.950E-13	71	1.631E-05	0.0	-9.193E-12	
32	1.212E+01	1.3	-1.118E+00	72	-7.227E-05	0.0	-4.699E-11	
33	2.121E-05	0.0	-1.173E-12	73	-6.534E-01	0.0	-3.225E-03	
34	-6.523E-07	0.0	-1.109E-12	74	1.090E+00	0.0	-5.925E-03	
35	-2.305E+01	4.8	-2.150E+00	75	-1.304E+01	1.5	-1.076E+00	
36	4.695E-05	0.0	-4.301E-14	76	1.912E+00	0.0	-1.639E-02	
37	8.446E-07	0.0	-3.777E-14	77	-5.265E-03	0.0	-6.914E-07	
38	-1.800E+00	0.0	-2.753E-02	78	-4.204E-05	0.0	-2.535E-11	
39	1.913E-05	0.0	-9.542E-15	79	6.259E-06	0.0	-4.025E-11	
40	-1.643E-05	0.0	-6.626E-15	80	-4.795E+00	0.2	-1.109E+01	
Sq. Sum	1.009E+04	90.5	-2.665E+01					

Slika 20. postoci aktivne mase u prvih 80 tonova osciliranja konstrukcije

Normirana metoda

Iz slike 20. vidljivo je da je u prvom obliku titranja konstrukcije aktivno 55,0% ukupne mase konstrukcije tako da je taj oblik titranja dominantan. Pomoću perioda titranja koji odgovara ovom obliku titranja dobivamo ordinatu proračunskog spektra odziva iz koje izračunamo zamjensku horizontalnu silu u poprečnom smjeru y.

$$T_1 = 2,486 \rightarrow S_d(T_1) = 0,633$$

Približna višemodalna metoda

Ekvivalentni period titranja dobiva se razmatranjem postotka mase aktivnog pri svakom pojedinom obliku titranja.

$$T_{Eq} = \frac{\sum_{i=1}^{n=30} M_i \cdot T_i}{\sum_{i=1}^{n=30} M_i}$$

$$T_{Eq,y} = 1,924 \rightarrow S_d(T_{Eq,y}) = 1,020$$

3.3.2. Potresno opterećenje u uzdužnom smjeru mosta

Za uzdužni smjer mosta korišteno je 150 tonova osciliranja da bi aktivna masa iznosila 91,3% ukupne mase.

Modal load contributions per function	funct.	mode	R ^W -factor [o/o]	V*R ^W -factor	mode	R ^W -factor [o/o]	V*R ^W -factor	
792	1	-3.910E-11	0.0	-1.322E-05	76	2.159E-05	0.0	-9.857E-01
2	3.702E+01	12.3	-1.622E-01	77	1.425E-04	0.0	-1.001E+00	
3	6.167E-10	0.0	-8.995E-05	78	-2.360E+00	0.1	-1.342E-01	
4	-3.298E-10	0.0	-3.338E-05	79	-2.981E+00	0.1	-9.097E-01	
5	4.815E-01	0.0	-4.223E-02	80	1.240E-03	0.0	-5.200E-07	
6	6.393E-11	0.0	-2.008E-05	81	5.225E+00	0.2	-1.203E+00	
7	-7.809E-10	0.0	-6.480E-06	82	-7.727E-05	0.0	-1.659E-04	
8	-1.095E-09	0.0	-4.499E-05	83	4.639E-05	0.0	-7.529E-09	
9	-4.039E-09	0.0	-1.989E-05	84	-4.778E-05	0.0	-4.808E-01	
10	3.080E+00	0.1	-2.924E-02	85	-2.529E-04	0.0	-3.591E-05	
11	3.157E-09	0.0	-1.419E-05	86	-2.225E+00	0.0	-1.239E+00	
12	-1.059E-01	1.0	-7.183E-02	87	6.683E-04	0.0	-1.629E-04	
13	3.294E-07	0.0	-2.166E-04	88	6.752E-01	0.0	-1.541E+00	
14	-1.151E-01	1.0	-7.004E-02	89	-7.116E-05	0.0	-1.000E+00	
15	-6.252E-07	0.0	-3.963E-03	90	5.569E+00	0.3	-7.745E-01	
16	1.294E-01	1.5	-4.654E-01	91	-2.349E-03	0.0	-7.504E-08	
17	1.115E-05	0.0	-9.711E-01	92	4.173E+00	0.2	-7.122E-02	
18	-1.407E+01	1.8	-6.304E-01	93	-6.897E-01	0.0	-1.054E-02	
19	-2.185E-05	0.0	-8.932E-01	94	8.095E-04	0.0	-1.904E-06	
20	-5.620E+01	30.4	-7.381E-01	95	-1.000E-03	0.0	-2.271E-01	
21	3.659E+00	0.1	-7.546E-01	96	4.549E+00	0.2	-7.829E-01	
22	-2.579E-05	0.0	-7.472E-01	97	6.709E-03	0.0	-9.273E-01	
23	-3.513E+01	11.1	-3.610E-01	98	-8.761E-02	0.0	-3.580E-02	
24	-5.593E-05	0.0	-5.099E-03	99	8.359E-01	0.0	-3.600E-01	
25	2.806E-09	0.0	-9.899E-01	100	6.411E+00	0.4	-3.389E-01	
26	1.609E-01	2.3	-9.450E-02	101	2.189E+00	0.0	-1.799E-01	
27	5.711E-05	0.0	-1.664E-02	102	-2.897E-01	0.1	-3.434E-02	
28	-4.025E-05	0.0	-8.095E-01	103	8.897E-03	0.0	-5.642E-02	
29	-5.504E+00	0.3	-6.395E-03	104	1.325E+01	1.6	-5.129E-01	
30	9.426E+01	0.0	-4.332E-03	105	6.265E-01	0.0	-1.711E-02	
31	6.429E+00	0.4	-1.356E-02	106	8.488E+00	0.6	-1.613E-01	
32	-1.659E-05	0.0	-1.764E-02	107	-5.232E-02	0.0	-1.361E-02	
33	5.142E-01	0.0	-1.017E-03	108	-1.882E+00	0.0	-8.448E-02	
34	-3.897E-01	0.0	-7.409E-04	109	1.278E-03	0.0	-1.161E-02	
35	-6.347E-05	0.0	-1.143E-05	110	-1.456E+00	0.0	-1.179E-01	
36	-1.640E+01	2.4	-3.803E-01	111	1.059E+01	1.0	-7.160E-01	
37	1.000E+00	0.0	-8.695E-03	112	8.209E-03	0.0	-3.740E-03	
38	-1.227E-05	0.0	-8.215E-01	113	-2.850E-03	0.0	-3.556E-08	
39	-6.295E-05	0.4	-9.368E-01	114	-6.897E+00	0.4	-4.251E-01	
40	3.349E+00	0.1	-3.659E-01	115	-8.762E-01	0.0	-1.398E+00	
41	-1.486E+00	0.0	-1.437E-01	116	1.640E-03	0.0	-1.571E+00	
42	-5.503E+00	0.3	-7.111E-02	117	-1.771E-01	0.0	-8.101E-02	
43	-2.904E-05	0.0	-4.661E-01	118	2.453E-03	0.0	-1.233E+00	
44	-5.982E+00	0.3	-1.606E-01	119	1.699E+00	0.0	-3.701E-01	
45	-1.554E+01	2.2	-7.845E-01	120	-5.923E-04	0.0	-6.453E-04	
46	-1.595E-05	0.0	-6.570E-11	121	1.618E-03	0.0	-1.696E-03	
47	-3.349E-05	0.0	-8.517E-01	122	3.370E-04	0.0	-1.249E+00	

Slika 21. postoci aktivne mase u prvih 150 tonova osciliranja konstrukcije

Normirana metoda

Iz slike 21. vidljivo je da je u 20. obliku titranja konstrukcije aktivno 30,4% ukupne mase konstrukcije tako da je taj oblik titranja dominantan. Pomoću perioda titranja koji odgovara ovom obliku titranja dobivamo ordinatu proračunskog spektra odziva iz koje izračunamo zamjensku horizontalnu silu u uzdužnom smjeru x.

$$T_{20} = 0,271 \rightarrow S_d(T_{20}) = 4,905$$

Približna višemodalna metoda

Ekvivalentni period titranja dobiven je razmatranjem postotka aktivne mase pri svakom od 150 oblika titranja.

$$T_{Eq} = \frac{\sum_{i=1}^{n=150} M_i \cdot T_i}{\sum_{i=1}^{n=150} M_i}$$

$$T_{Eq,x} = 1,924 \rightarrow S_d(T_{Eq,x}) = 4,881$$

DETALJNIJI PRORAČUN ŠIBENSKOG MOSTA CILJANI POMACI

3.4. Ciljani pomaci

U poprečnom smjeru mosta vrijednost ciljanog pomaka $d_{E,y}$ dobiva se na temelju linearnog dinamičkog proračuna zasnovanog na proračunskom spektru odziva uz faktor ponašanja $q=1,0$.

$$d_{T,y} = d_{E,y} = 139,9 + 129,5 = 269,4 \text{ mm}$$

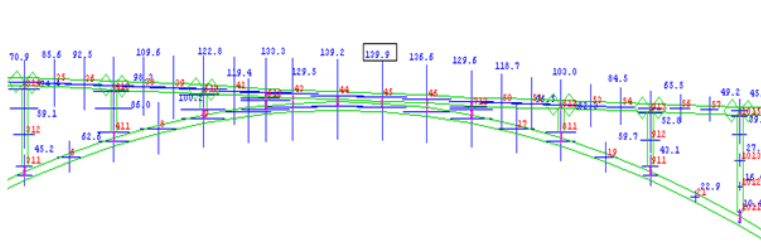
Pomak od 139,9 mm očitan je iz rada [7], a predstavlja vrijednost pomaka u tjemenu luka dobivena na temelju najnepovoljnije od slijedećih kombinacija djelovanja:

$$\begin{aligned} E_x + 0,3E_y + 0,3E_z \\ 0,3E_x + E_y + 0,3E_z \\ 0,3E_x + 0,3E_y + E_z \end{aligned}$$

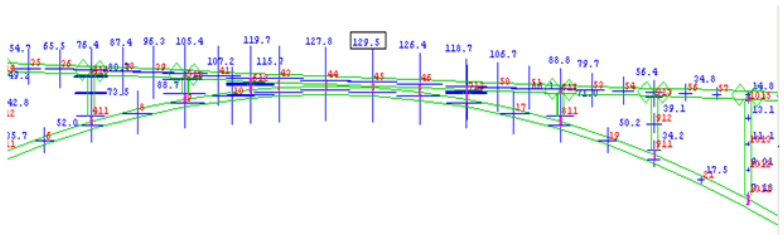
gdje su E_x , E_y i E_z seizmička djelovanja u smjeru x,y,z

Tom pomaku dodaje se i veličina pomaka od stalnog djelovanja i dodatnog stalnog opterećenja koja iznosi 129,5 mm.

Pomaci sa slika 29. i 30. očitani su u tjemenu luka (čvor 45).



Slika 29. vrijednost pomaka luka u poprečnom smjeru od potresnog djelovanja



Slika 30. vrijednost pomaka luka u poprečnom smjeru od vlastite težine i dodatnog stalnog opterećenja

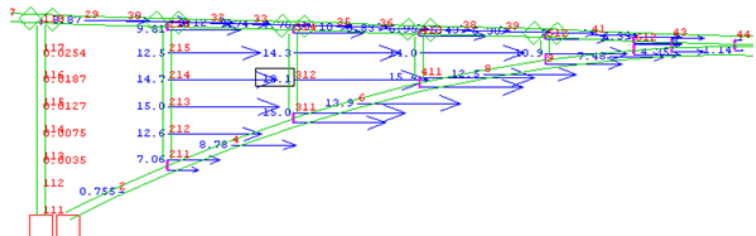
Na isti način dobije se i vrijednost ciljanog pomaka $d_{E,x}$ u uzdužnom smjeru mosta.

$$d_{T,x} = d_{E,x} = 13,9 + 19,1 = 33,0 \text{ mm}$$

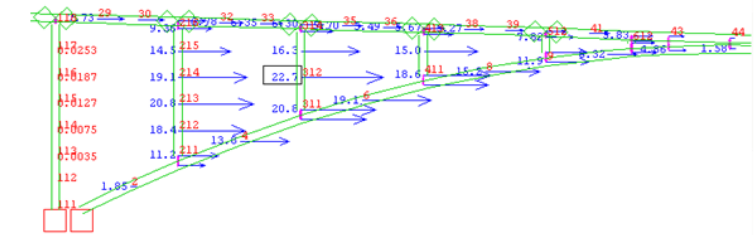
pri čemu je vrijednost 13,9 mm očitana iz rada [7], a predstavlja pomak u 1/4 raspona luka dobiven na temelju najnepovoljnije od gore navedenih kombinacija seizmičkog djelovanja.

Tom pomaku dodaje se i veličina pomaka od stalnog djelovanja i dodatnog stalnog opterećenja koja iznosi 19,1 mm.

Pomaci sa slika 31. i 32. očitani su u četvrtini raspona luka (čvor 6).



Slika 31. vrijednost pomaka luka u uzdužnom smjeru od potresnog djelovanja



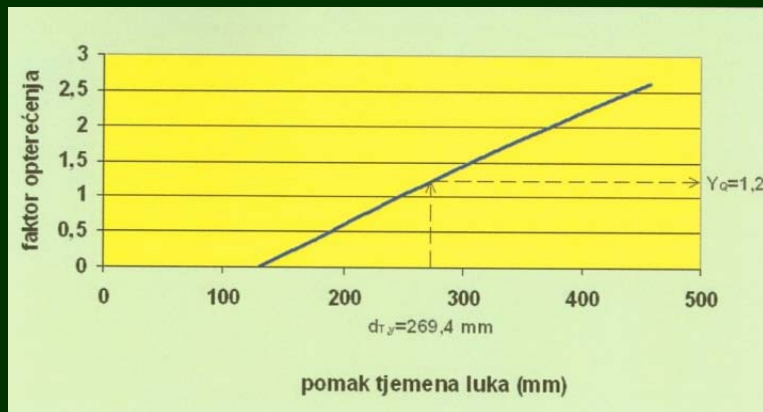
Slika 32. vrijednost pomaka luka u uzdužnom smjeru od vlastite težine i dodatnog stalnog opterećenja

DETALJNIJI PRORAČUN ŠIBENSKOG MOSTA

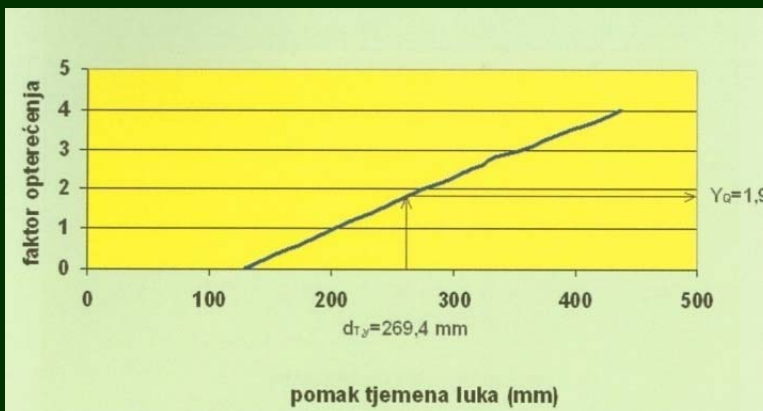
REZULTATI PRORAČUNA – FAKTORI SIGURNOSTI NA POTRES

POPREČNI SMJER MOSTA (luk)

Približna višemodalna metoda postupnog guranja

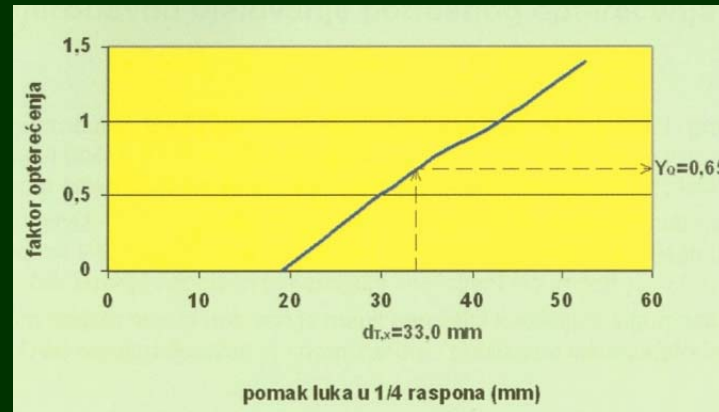


Normirana metoda postupnog guranja

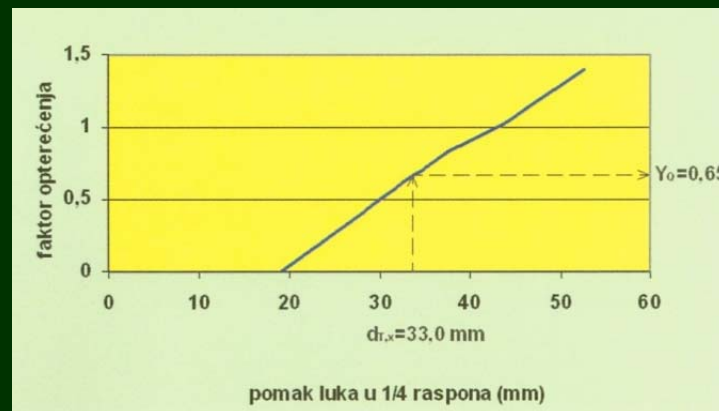


UZDUŽNI SMJER MOSTA (luk)

Približna višemodalna metoda postupnog guranja



Normirana metoda postupnog guranja



DETALJNIJI PRORAČUN ŠIBENSKOG MOSTA

REZULTATI PRORAČUNA – FAKTORI SIGURNOSTI NA POTRES

	LUK		LUK+STUPOVI		LUK+STUPOVI BEZ TJEMENIH	
	POPREČNO	UZDUŽNO	POPREČNO	UZDUŽNO	POPREČNO	UZDUŽNO
NORMIRANA	1,9	0,65	0,6	0,65	1,9	0,65
PRIBLIŽNA	1,2	0,65	0,3	0,65	1,2	0,65

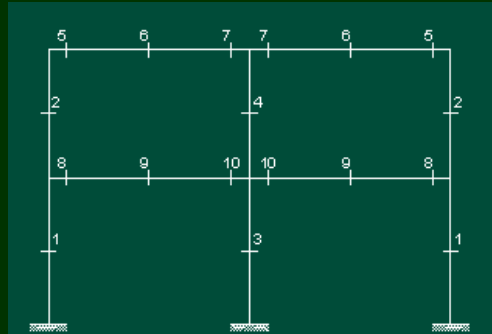
NAPREDAK ISTRAŽIVANJA:

http://www.casopis-gradjevinar.hr/assets/Uploads/JCE_66_2014_8_1_2.pdf

PRIMJER: OCJENJIVANJE AB OKVIRA ZGRADE NA POTRESNO DJELOVANJE

POSTOJEĆI AB OKVIR ZGRADE

- Stupovi su na rasteru $L_x = L_y = 5,5 \text{ m}$ u oba smjera.
- Visine etaža su $H_{\text{priz.}} = 4,0 \text{ m}$ i $H_{\text{kat.}} = 3,5 \text{ m}$.
- Stupovi su presjeka $b_s/h_s = 35/35 \text{ cm}$.
- Grede poprečnog okvira su T-presjeka pri čemu je
 - širina hrpta $b_w = 30 \text{ cm}$,
 - visina ploče $h_f = 16 \text{ cm}$,
 - ukupna visina $h = 45 \text{ cm}$.



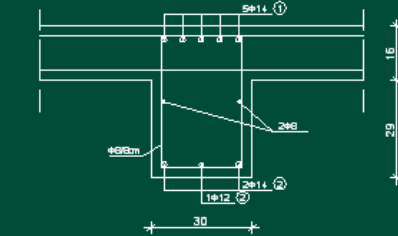
- Za određivanje proračunske širine grede T-presjeka u polju uzet će se razmak nul-točaka momentnog dijagrama:

$$0,6 \cdot L = 0,6 \cdot 550 = 330 \text{ cm},$$
$$b_{\text{eff}} = 330/5 + 30 = 96 \text{ cm}.$$

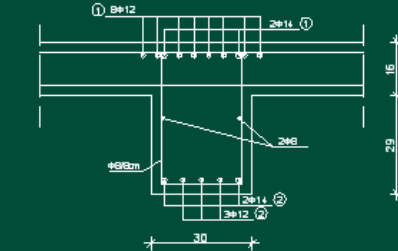
- Dimenziije greda uzdužnog smjera zgrade $b_{w, \text{ug}} = 30 \text{ cm}$, $h_{\text{ug}} = 40 \text{ cm}$, $h_{f, \text{ug}} = 16 \text{ cm}$
- Efektivna širina rubne grede $b_{\text{eff}} = 63 \text{ cm}$
- Beton je razreda C25/30
- Kvaliteta čelika za armiranje je B500B

POSTOJEĆI AB OKVIR ZGRADE

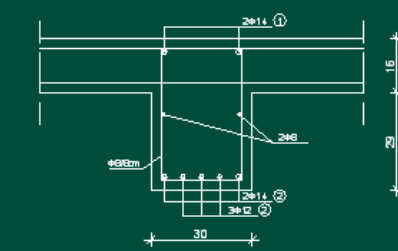
PRESJEK 5



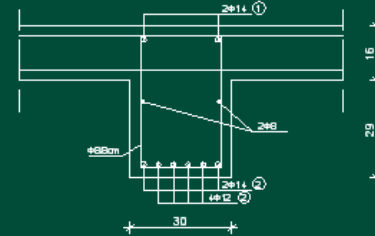
PRESJEK 7



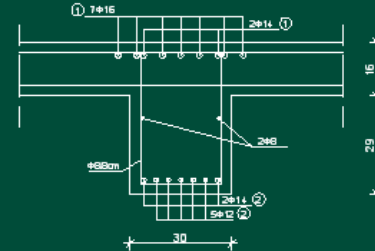
PRESJEK 9



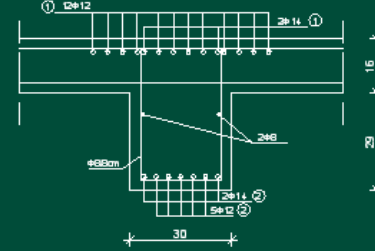
PRESJEK 6



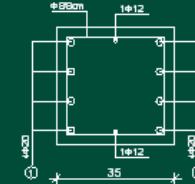
PRESJEK 8



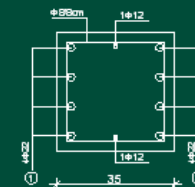
PRESJEK 1



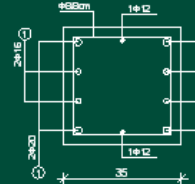
PRESJEK 1



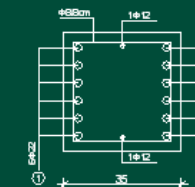
PREFS/JFK 3



PRESJEK



PRESIFK



PRE-SJEK		Ø 12 (cm ²)	Ø 14 (cm ²)	Ø 16 (cm ²)	Ø 20 (cm ²)	Ø 22 (cm ²)	UK. (cm ²)
1	LINIJA 1			4,02	6,28		10,30
	LINIJA 2			4,02	6,28		10,30
2	LINIJA 1				12,57		12,57
	LINIJA 2				12,57		12,57
3	LINIJA 1					22,81	22,81
	LINIJA 2					22,81	22,81
4	LINIJA 1					15,21	15,21
	LINIJA 2					15,21	15,21
5	LINIJA 1		7,70				7,70
	LINIJA 2	1,13	3,08				4,21
6	LINIJA 1		3,08				3,08
	LINIJA 2	4,52	3,08				7,60
7	LINIJA 1	9,05	3,08				12,13
	LINIJA 2	3,39	3,08				6,47
8	LINIJA 1	14,07	3,08				17,15
	LINIJA 2	5,66	3,08				8,74
9	LINIJA 1		3,08				3,08
	LINIJA 2	3,39	3,08				6,47
10	LINIJA 1	13,57	3,08				16,65
	LINIJA 2	5,66	3,08				8,74

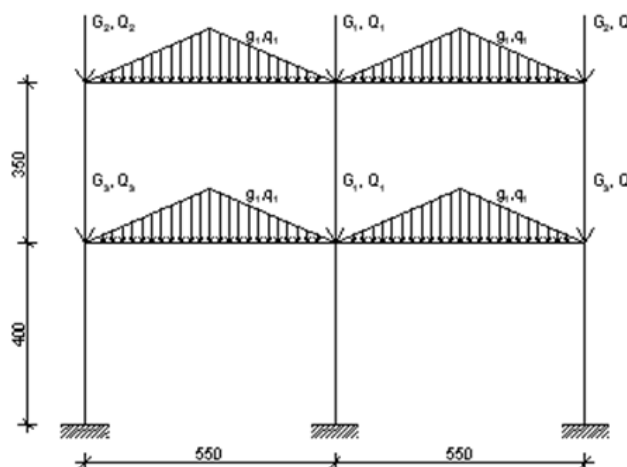
TK II

ANALIZA OPTEREĆENJA

Analiza opterećenja na stropne ploče:

- Stalno:	- pregradni zidovi	2,20 kN/m ²
	- pod sa slojevima	1,50 kN/m ²
	- vlastita težina ploče	4,00 kN/m ²
	- pogled	0,30 kN/m ²
$g_{pl} = 8,00 \text{ kN/m}^2$		

- Promjenljivo:	- uporabno za kategoriju B - uredi	$\frac{3,00 \text{ kN/m}^2}{q_{pl} = 3,00 \text{ kN/m}^2}$
-----------------	------------------------------------	--



Slika: Shema opterećenja na okviru

Analiza vertikalnog opterećenja na okvir:

- Po rubu građevine se izvodi fasadni zid s prozorima. Prosječna težina takve fasade iznosi 3,23 kN/m² ili kao kontinuirano opterećenje $g_{zid} = 3,23 \cdot (3,5-0,4) = 10,0 \text{ kN/m}$.

- Vlastita težina - Kompjutorski program automatski uzima težinu pojasnica greda, pa je tu težinu potrebno oduzeti kako se ne bi uzela u proračun dva puta
 $g_f = 0,16 \cdot 0,96 \cdot 25 = 3,84 \text{ kN/m}$

- Stalno:

- s ploče na gredu (trokutasto): $g_1 = L_x \cdot g_{pl} = 5,5 \cdot 8,0 = 44,0 \text{ kN/m}$

- na stupove(koncentrirano):

$$\begin{aligned} & - \text{opterećenje s ploče } (g \cdot l^2)/2 = (8 \cdot 5,5^2)/2 = 121,0 \text{ kN} \\ & - \text{v.t. rebra uzdužne grede } (h_{ug} - h_{pl,ug}) \cdot b_{w,ug} \cdot \gamma_b \cdot (L_x - b_s) \\ & \quad (0,40-0,16) \cdot 0,3 \cdot 25 \cdot (5,5 - 0,35) = 9,3 \text{ kN} \\ & \quad G_1 = 130,3 \text{ kN} \end{aligned}$$

$$\begin{aligned} & - \text{opterećenje s ploče } (g \cdot l^2)/4 = (8,0 \cdot 5,5^2)/4 = 60,5 \text{ kN} \\ & - \text{v.t. rebra uzdužne grede } (h_{ug} - h_{pl,ug}) \cdot b_{w,ug} \cdot \gamma_b \cdot (L_x - b_s) \\ & \quad (0,40-0,16) \cdot 0,3 \cdot 25 \cdot (5,5 - 0,35) = 9,3 \text{ kN} \\ & \quad G_2 = 69,8 \text{ kN} \end{aligned}$$

$$\begin{aligned} & - \text{opterećenje s ploče } (g \cdot l^2)/4 = (8 \cdot 5,5^2)/4 = 60,5 \text{ kN} \\ & - \text{v.t. rebra uzdužne grede } (h_{ug} - h_{pl,ug}) \cdot b_{w,ug} \cdot \gamma_b \cdot (L_x - b_s) \\ & \quad (0,40-0,16) \cdot 0,3 \cdot 25 \cdot (5,5 - 0,35) = 9,3 \text{ kN} \\ & - \text{v.t. fasadnog zida } g_{zid} \cdot (L_x - b_s) = 51,5 \text{ kN} \\ & \quad G_3 = 121,3 \text{ kN} \end{aligned}$$

- Uporabno:

- s ploče na gredu (trokutasto): $q_1 = L_x \cdot q_{pl} = 5,5 \cdot 3,0 = 16,5 \text{ kN/m}$

- na stupove(koncentrirano):

$$\begin{aligned} & - \text{opterećenje s ploče } (q \cdot l^2)/2 = (3,0 \cdot 5,5^2)/2 = Q_1 = 45,4 \text{ kN} \\ & - \text{opterećenje s ploče } (q \cdot l^2)/4 = (3,0 \cdot 5,5^2)/4 = Q_2 = Q_3 = 22,7 \text{ kN} \end{aligned}$$

Elastični spektar odziva:

- proračunsko ubrzanje tla za IX. zonu $a_g = 0,3g$, a za VIII. zonu $a_g = 0,2g$

- za tlo razreda B vrijede parametri: $S = 1,2, T_B = 0,15, T_C = 0,50, T_D = 2,00$

- promatrani period dobiven je proračunom u 'Sofistiku', iznosi $T_1 = 0,629$ i nalazi se između T_C i T_D

$$S_a(T) = a_g \eta S \cdot 2,5 \cdot \left(\frac{T_C}{T} \right)$$

$$S_a(T) = 0,3 \cdot 9,81 \cdot 1,0 \cdot 1,2 \cdot 2,5 \cdot \left(\frac{0,5}{0,629} \right) = 7,018$$

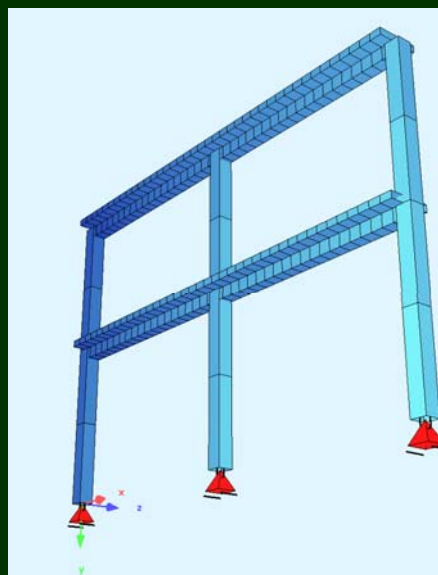
MODELIRANJE OKVIRA I NAČIN PROVEDBE PRORAČUNA

Proračun je proveden programskim paketom 'Sofistik'.

Okvir je modeliran kao niz štapnih elemenata.

Potresno djelovanje predstavljeno je zamjenskim horizontalnim opterećenjem koje se dobiva umnoškom ordinate proračunskog spektra odziva $S_d(T_1)$ i vlastite težine, odnosno dodatnog stalnog opterećenja.

Na okvir djeluje stalno opterećenje, te 30% uporabnog opterećenja (kombinacijski faktor za seizmičku proračunsku situaciju $\psi_1 = 0,3$, faktor važnosti za poslovnu zgradu $\gamma_1 = 1,0$, $\psi_1 \cdot \gamma_1 = 0,3$), dok se zamjensko horizontalno opterećenje zadaje u koracima. U prvom koraku djeluje 50% horizontalnog zamjenskog opterećenja. U svakom sljedećem koraku horizontalno opterećenje se povećava za 10%, sve do prelaska u nelinearno područje.



```
+prog star urs:50
head nf
ctrl i
lc 6
lcc 1 1.0
lcc 2 1.0
lcc 3 0.3
lcc 5 0
end

PROG AQB ITER urs:51
HEAD nf
NORM ec
LC 6 ;
BEAM (1 46 1)
REIN MOD SECT
DESI ULTI S2 3.0 SMOD NO
NSTR SN ALPH 0.4
END

PROG STAR ITER urs:52
HEAD nf
CTRL II 1
END
END
```

KAPACITET NOSIVOSTI KONSTRUKCIJE

Kao što je ranije navedeno, potresno djelovanje predstavlja se zamjenskim horizontalnim opterećenjem koje se u koracima linearno povećava. U svakom koraku određena je ukupna horizontalna sila na okvir, te pomak u kontrolnom čvoru, u ovom slučaju, prvom čvoru kata. Na taj način dobiven je odnos $F-\delta$, odnosno krivulja kapaciteta nosivosti:

Dijagram $F-\delta$ mora se transformirati u $S_a - S_d$ oblik.

$$S_a = \frac{F / W}{\alpha_1}$$

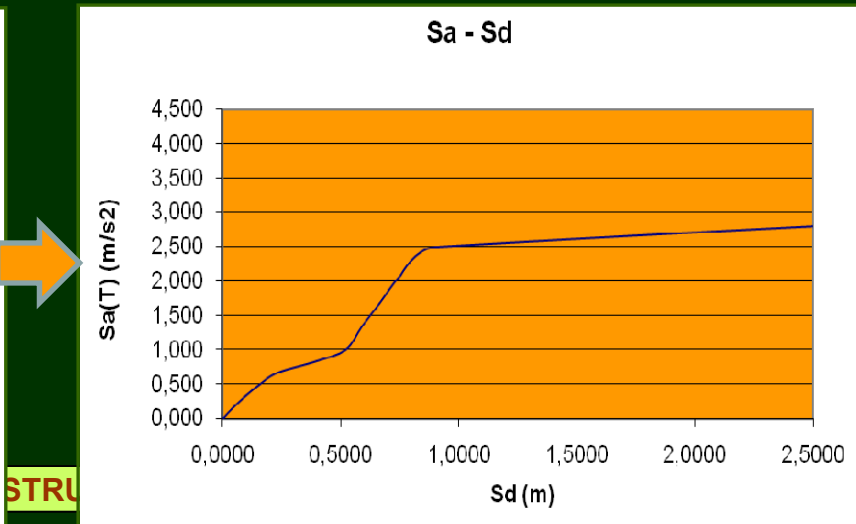
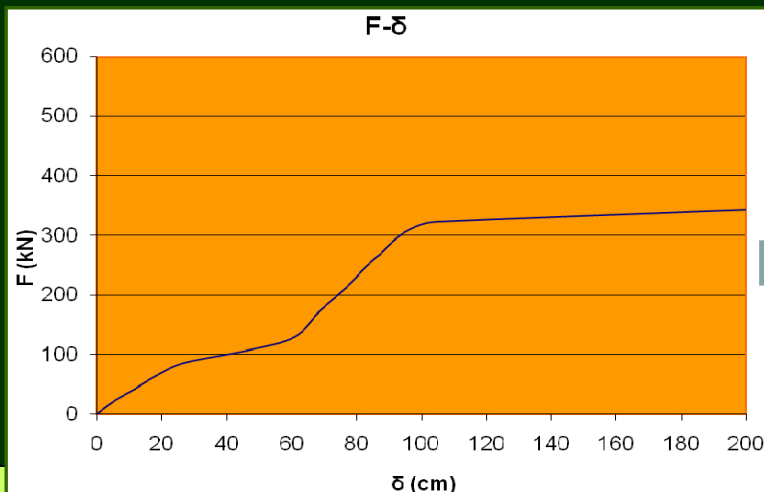
$$S_d = \frac{\delta_{krov}}{PF_1 \cdot \Phi_{krov,1}}$$

$$PF_1 = \frac{\sum_{i=1}^n m_i \cdot \Phi_{i1}}{\sum_{i=1}^n m_i \cdot \Phi_{i1}^2}$$

$$\alpha_1 = \frac{\left[\sum_{i=1}^n m_i \cdot \Phi_{i1} \right]^2}{\left[\sum_{i=1}^n m_i \right] \left[\sum_{i=1}^n m_i \cdot \Phi_{i1}^2 \right]}$$

Ukupna težina konstrukcije, kao i mase katova, te amplitude prvog vlastitog oblika titranja dobivene su proračunom u 'Sofistiku' (DYNA).

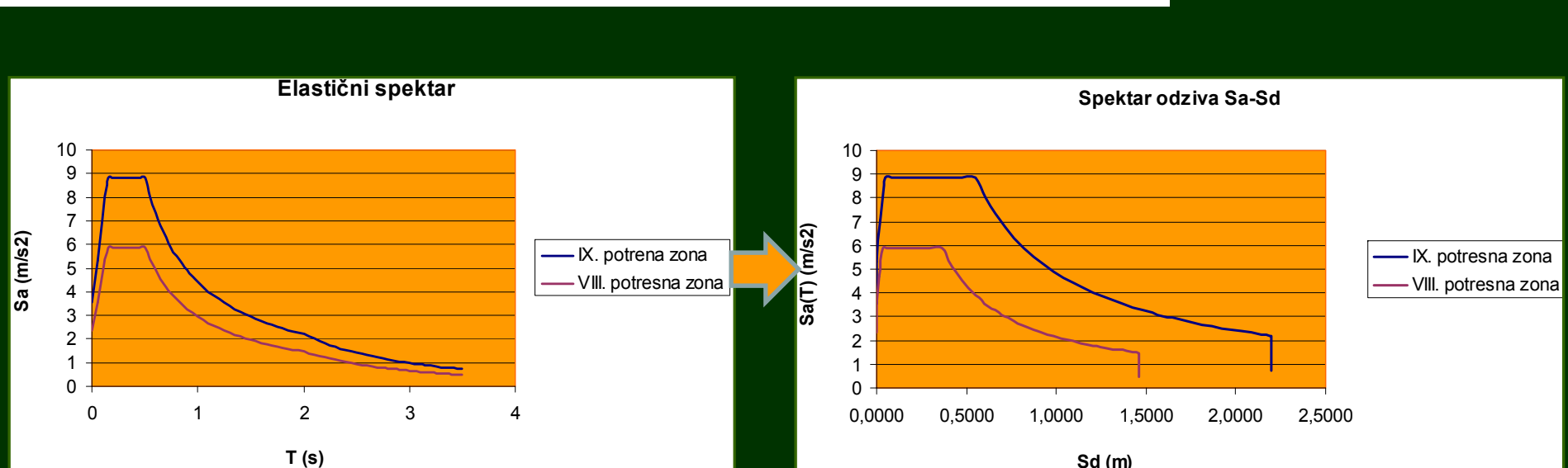
Ukupna težina konstrukcije $W = 1362,7$ kN, mase katova su $m_1 = m_2 = 24422$ kg, amplituda prvog vlastitog oblika titranja u razini krova $\Phi_1 = 10,52$ cm, a u razini kata $\Phi_2 = 6,75$ cm.



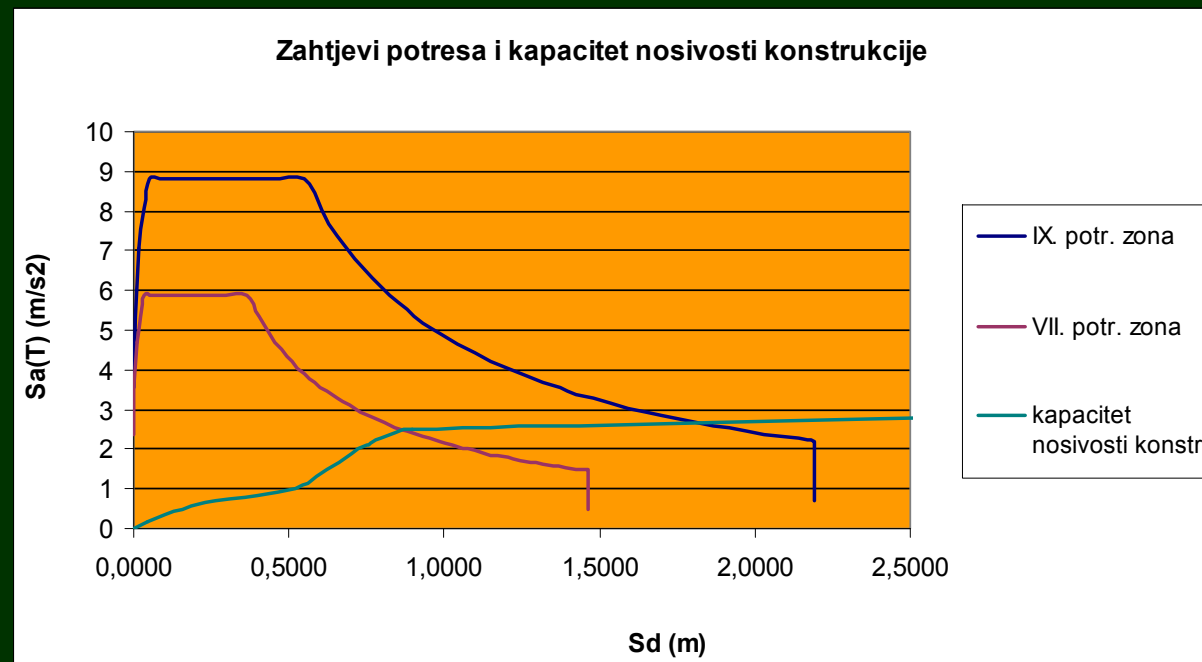
ZAHTJEV POTRESA

Dijagram S_a - T također se mora transformirati u S_a - S_d oblik. Dakle, svakoj točki s koordinatama S_{ai} i T_i pridružuje se vrijednost S_{di} . Točke se transformiraju izrazom

$$S_{di} = \frac{T_i^2}{4\pi^2} \cdot S_{ai} \cdot g$$



PREKLAPANJE KRIVULJA



- Iz priloženog dijagrama vidljivo je da konstrukcija ima dostatnu nosivost za VIII. potresnu zonu, zato što krivulja kapaciteta nosivosti sječe krivulju zahtjeva potresa u linearном području.
- Međutim, nosivost nije dovoljna za zahtjeve IX. potresne zone. Naime, krivulja kapaciteta nosivosti sječe krivulju zahtjeva potresa daleko u nelinearnom području. Iako se ponašanje konstrukcije u tom području ne može precizno predvidjeti, može se smatrati, prema dobivenom dijagramu, da je došlo do većih oštećenja ili čak sloma. Potrebno je dakle, poduzeti određene zahvate da bi se povećala nosivost konstrukcije.

TRAJNOST KONSTRUKCIJA II

Idući tjedan: UDARI